

МОСКОВСКИЙ ГОСУДАРСТВЕННЫЙ УНИВЕРСИТЕТ
ИМЕНИ М.В. ЛОМОНОСОВА
Механико-математический факультет

Отчёт по практикуму
ПРИБЛИЖЕННОЕ РЕШЕНИЕ КРАЕВОЙ ЗАДАЧИ

Студент:	Болычев Антон Владимирович
Преподаватель:	Лапшин Евгений Александрович
Группа:	409

Москва
2018

1 Постановка задачи

Пусть $u(x, t) : [0, 1] \times [0, +\infty) \rightarrow \mathbb{R}^2$ и

$$\begin{aligned} u &= \begin{pmatrix} u_1 \\ u_2 \end{pmatrix} \\ u(0, t) &= u(1, t) \\ u_i(x, 0) &= \phi_i(x), \quad i = 1, 2 \end{aligned}$$

Требуется решить задачу

$$\begin{cases} \frac{\partial u_1}{\partial t} = a \frac{\partial u_1}{\partial x} + b \frac{\partial u_2}{\partial x} \\ \frac{\partial u_2}{\partial t} = c \frac{\partial u_1}{\partial x} + b \frac{\partial u_2}{\partial x} \end{cases}$$

Введем для удобства матрицу A

$$A := \begin{pmatrix} a & b \\ c & d \end{pmatrix}$$

а также

$$\frac{\partial u}{\partial t} := \begin{pmatrix} \frac{\partial u_1}{\partial t} \\ \frac{\partial u_2}{\partial t} \end{pmatrix} \quad \frac{\partial u}{\partial x} := \begin{pmatrix} \frac{\partial u_1}{\partial x} \\ \frac{\partial u_2}{\partial x} \end{pmatrix}$$

и перепишем формулировку следующим образом

$$\frac{\partial u}{\partial t} = A \frac{\partial u}{\partial x}$$

2 Необходимые замены

Будем решать задачу для диагонализируемой матрицы A . Возьмем матрицу C , у которой по столбцам будут стоять собственные вектора A , тогда будет справедливо

$$C^{-1}AC = \begin{pmatrix} \lambda_1 & 0 \\ 0 & \lambda_2 \end{pmatrix} =: \Lambda$$

Положим

$$u = Cv, \quad \begin{pmatrix} \phi_1(x) \\ \phi_2(x) \end{pmatrix} = C \cdot \begin{pmatrix} \psi_1(x) \\ \psi_2(x) \end{pmatrix}$$

Тогда наша задача переписывается следующим образом:

$$\begin{cases} \frac{\partial v}{\partial t} = \Lambda \frac{\partial v}{\partial x} \\ v_i(x, 0) = \psi_i(x), \quad i = 1, 2 \\ v(0, t) = v(1, t) \end{cases}$$

3 Построение разностных схем

Таким образом мы свели двумерную задачу к одномерной задаче вида

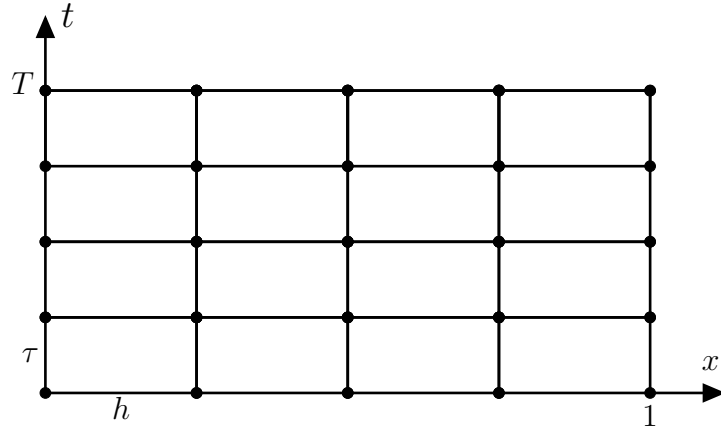
$$\begin{cases} \frac{\partial y}{\partial t} = \lambda \frac{\partial y}{\partial x} \\ y(0, t) = y(1, t) \\ y(x, 0) = \varphi(x) \end{cases}$$

Замечание 1. Точное решение y данной задачи определено при $x \in [0, 1]$. Мы можем его периодически продолжить на всю действительную прямую. Таким образом, законно считать, что $y(x, t)$ имеет период равный 1 по переменной x .

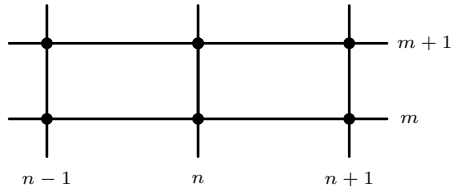
Для её численного решения мы составим разностные схемы трех типов. Будем искать решение на ограниченной области $[0, 1] \times [0, T]$, где $T \in (0, +\infty)$. Для этого зафиксируем натуральные числа M, N и положим:

$$\begin{aligned} h &= 1/N, \quad \tau = T/M \\ (x_n, t_m) &:= (nh, m\tau) \end{aligned}$$

таким образом введя сетку на $[0, 1] \times [0, T]$:



Для построения разностных схем будем использовать 6-точечный шаблон:

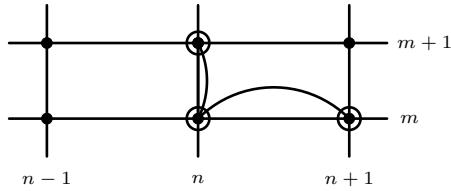


Обозначим $y(x_n, t_m) := y_{n,m}$ и построим схему, которую назовем

3.1 Правый треугольник

$$\begin{cases} \frac{y_{n,m+1} - y_{n,m}}{\tau} = \lambda \cdot \frac{y_{n+1,m} - y_{n,m}}{h} \\ y_{n,0} = y_{n,N} \\ y_{0,m} = \varphi(x_m) \end{cases}$$

которую по аналогии изобразим:

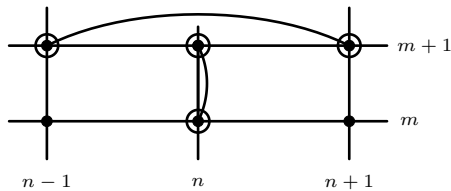


Заметим, что зная все $y_{n,m}$ при фиксированном m , мы можем через них явно выразить все $y_{n,m+1}$, поэтому схема называется *явной*.

3.2 Верхний треугольник

$$\begin{cases} \frac{y_{n,m+1} - y_{n,m}}{\tau} = \lambda \cdot \frac{y_{n+1,m+1} - y_{n-1,m+1}}{2h} \\ y_{n,0} = y_{n,N} \\ y_{0,m} = \varphi(x_m) \end{cases}$$

которую по аналогии изобразим:



Здесь ситуация обстоит иначе. Мы не можем явно выразить все $y_{n,m+1}$, как это было в предыдущем случае. По этой причине схема называется *неявной*. Чтобы найти $y_{n,m+1}$ при известных $y_{n,m}$ требуется решить систему линейных уравнений. Это можно сделать с помощью метода циклической прогонки.

Циклическая прогонка

Распишем алгоритм решения данной схемы. Для этого перепишем схему в виде:

$$\frac{\lambda\tau}{2h}y_{n-1,m+1} + y_{n,m+1} - \frac{\lambda\tau}{2h}y_{n+1,m+1} = y_{n,m}$$

В силу замечания 1 мы полагаем $y_{n,m} = y_{n+N,m} \forall n, m$. Далее вводим коэффициенты

$$\alpha_i := \frac{\lambda\tau}{2h}, \quad \beta_i := 1, \quad \gamma_i := \frac{\lambda\tau}{2h} \quad \forall i = \overline{1, \dots, N}$$

вводим переменные $z_n := y_{n,m+1}$ (при этом $z_n = z_{n+N}$ в силу замечания 1) и свободные члены $f_n := y_{n,m}$. Таким образом, имеем систему

$$\underbrace{\begin{pmatrix} \beta_1 & \gamma_1 & 0 & \dots & \dots & 0 & \alpha_1 \\ \alpha_2 & \beta_2 & \gamma_2 & 0 & \dots & \dots & 0 \\ 0 & \alpha_3 & \beta_3 & \gamma_3 & 0 & \dots & 0 \\ \vdots & \ddots & \ddots & \ddots & \ddots & \ddots & \vdots \\ 0 & \dots & 0 & \alpha_{N-2} & \beta_{N-2} & \gamma_{N-2} & 0 \\ 0 & \dots & \dots & 0 & \alpha_{N-1} & \beta_{N-1} & \gamma_{N-1} \\ \gamma_N & 0 & \dots & \dots & 0 & \alpha_N & \beta_N \end{pmatrix}}_{M_N} \cdot \underbrace{\begin{pmatrix} z_1 \\ \vdots \\ z_N \end{pmatrix}}_{Z_N} = \underbrace{\begin{pmatrix} f_1 \\ \vdots \\ f_N \end{pmatrix}}_{F_N} \quad (1)$$

Теперь пусть M_{N-1} – трёхдиагональная матрица, полученная из M_N вычеркиванием последнего столбца и последней строки, $Z_{N-1} := (z_1, \dots, z_{N-1})^T$, $F_{N-1} := (f_1, \dots, f_{N-1})^T$, $U = \underbrace{(\alpha_1, 0, 0, \dots, 0, \gamma_{N-1})^T}_{N-1 \text{ элемент}}$. Перепишем

систему следующим образом:

$$\begin{cases} M_{N-1} \cdot Z_{N-1} + U \cdot z_N = F_{N-1} \\ \gamma_N z_1 + \alpha_N z_{N-1} + \beta_N z_N = f_N \end{cases}$$

И будем искать решение в виде

$$z_n = p_n + q_n z_N, \quad \text{где} \quad M_{N-1} \cdot \begin{pmatrix} p_1 \\ p_2 \\ \vdots \\ p_{N-1} \end{pmatrix} = F_{N-1}, \quad M_{N-1} \cdot \begin{pmatrix} q_1 \\ q_2 \\ \vdots \\ q_{N-1} \end{pmatrix} = -U$$

Итак, раз M_{N-1} – трехдиагональная, то системы

$$M_{N-1} \cdot \begin{pmatrix} p_1 \\ p_2 \\ \vdots \\ p_{N-1} \end{pmatrix} = F_{N-1}, \quad M_{N-1} \cdot \begin{pmatrix} q_1 \\ q_2 \\ \vdots \\ q_{N-1} \end{pmatrix} = -U$$

естественно решать методом прогонки, поэтому положим

$$p_n = C_n p_{n+1} + \varphi_n^{(p)}, \quad q_n = C_n q_{n+1} + \varphi_n^{(q)} \quad \text{для} \quad n = 1, \dots, N-2 \quad (2)$$

Так как $z_n = p_n + q_n z_N$, то, подставляя в данное выражение формулы (2), получим

$$z_n = C_n p_{n+1} + \varphi_n^{(p)} + (C_n q_{n+1} + \varphi_n^{(q)}) z_N = C_n z_{n+1} + \varphi_n^{(p)} + \varphi_n^{(q)} z_N \quad (3)$$

Мы вычислим коэффициенты $\{C_n, \varphi_n^{(p)}, \varphi_n^{(q)}\}$ так, чтобы формула (3) выполнялась для всех $n = 1, \dots, N-1$.

Этап 1: Найдём $\{C_n, \varphi_n^{(p)}, \varphi_n^{(q)}\}$ для всех $n = 1, \dots, N-1$

Разберёмся сначала с $\{C_1, \varphi_1^{(p)}, \varphi_1^{(q)}\}$. Итак, из первого уравнения системы (1) нам известно:

$$\beta_1 z_1 = \gamma_1 z_2 + f_1 - \alpha_1 z_N$$

поэтому, чтобы было выполнено (3), естественно положить

$$C_1 = \frac{\gamma_1}{\beta_1}, \quad \varphi_1^{(p)} = \frac{f_1}{\beta_1}, \quad \varphi_1^{(q)} = -\frac{\alpha_1}{\beta_1}$$

Теперь разберёмся с остальными коэффициентами. Выпишем из системы (1) $n+1$ -ое уравнение

$$\alpha_{n+1} z_n + \beta_{n+1} z_{n+1} + \gamma_{n+1} z_{n+2} = f_{n+1},$$

Подставим в него (3):

$$\begin{aligned} \alpha_{n+1} (C_n z_{n+1} + \varphi_n^{(p)} + \varphi_n^{(q)} z_N) + \beta_{n+1} z_{n+1} + \gamma_{n+1} z_{n+2} &= f_{n+1} \iff \\ z_{n+1} &= -\frac{\gamma_{n+1}}{\alpha_{n+1} C_n + \beta_{n+1}} z_{n+2} + \frac{f_{n+1} - \alpha_{n+1} \varphi_n^{(p)}}{\alpha_{n+1} C_n + \beta_{n+1}} - \frac{\alpha_{n+1} \varphi_n^{(q)}}{\alpha_{n+1} C_n + \beta_{n+1}} z_N \end{aligned}$$

Таким образом, справедливо положить

$$C_{n+1} = -\frac{\gamma_{n+1}}{\alpha_{n+1} C_n + \beta_{n+1}}, \quad \varphi_{n+1}^{(p)} = \frac{f_{n+1} - \alpha_{n+1} \varphi_n^{(p)}}{\alpha_{n+1} C_n + \beta_{n+1}}, \quad \varphi_{n+1}^{(q)} = -\frac{\alpha_{n+1} \varphi_n^{(q)}}{\alpha_{n+1} C_n + \beta_{n+1}} \quad (4)$$

Алгоритм нахождения $\{C_n, \varphi_n^{(p)}, \varphi_n^{(q)}\}$ для всех n следующий: зная тройку $\{C_1, \varphi_1^{(p)}, \varphi_1^{(q)}\}$, можно, используя (4), найти $\{C_2, \varphi_2^{(p)}, \varphi_2^{(q)}\}$, затем, снова подставляя в (4) найденные $\{C_2, \varphi_2^{(p)}, \varphi_2^{(q)}\}$, вычислить $\{C_3, \varphi_3^{(p)}, \varphi_3^{(q)}\}$ и так далее:

$$\{C_1, \varphi_1^{(p)}, \varphi_1^{(q)}\} \xrightarrow{(4)} \{C_2, \varphi_2^{(p)}, \varphi_2^{(q)}\} \xrightarrow{(4)} \{C_3, \varphi_3^{(p)}, \varphi_3^{(q)}\} \xrightarrow{(4)} \dots \xrightarrow{(4)} \{C_{N-1}, \varphi_{N-1}^{(p)}, \varphi_{N-1}^{(q)}\}$$

Этап 2: Найдём p_n, q_n для $n = \overline{1, \dots, N-1}$. Итак,

$$\begin{cases} z_{N-1} = p_{N-1} + q_{N-1} z_N \\ z_{N-1} = C_{N-1} z_N + \varphi_{N-1}^{(p)} + \varphi_{N-1}^{(q)} z_N \end{cases}$$

то есть

$$p_{N-1} = \varphi_{N-1}^{(p)}, \quad q_{N-1} = C_{N-1} + \varphi_{N-1}^{(q)}$$

Теперь пользуясь формулой (2), можем найти все остальные p_n, q_n :

$$\{p_{N-1}, q_{N-1}\} \xrightarrow{(2)} \{p_{N-2}, q_{N-2}\} \xrightarrow{(2)} \dots \xrightarrow{(2)} \{p_1, q_1\}$$

Этап 3: Найдём z_1, \dots, z_N Начнем с z_N . Напишем систему:

$$\begin{cases} z_1 = p_1 + q_1 z_N \\ z_{N-1} = p_{N-1} + q_{N-1} z_N \\ \gamma_N z_1 + \alpha_N z_{N-1} + \beta_N z_N = f_N \end{cases} \implies z_N = \frac{f_N - \gamma_N p_1 - \alpha_N p_{N-1}}{\beta_N + \gamma_N q_1 + \alpha_N q_{N-1}}$$

Далее используя формулу $z_n = p_n + q_n z_N$, найдём остальные $z_1, z_2, z_3, \dots, z_{N-1}$.

Устойчивость метода циклической прогонки

Для устойчивости метода достаточно, чтобы $|\beta_i| \geq |\alpha_i| + |\gamma_i| \quad \forall i$, то есть $1 \geq |\lambda| \frac{\tau}{h} \iff \frac{\tau}{h} \leq \frac{1}{|\lambda|}$

4 Аппроксимация

Пусть y – решение нашей задачи. Подставим его в

4.1 Правый треугольник

$$\begin{aligned} & \frac{y(x_n, t_{m+1}) - y(x_n, t_m)}{\tau} - \lambda \cdot \frac{y(x_{n+1}, t_m) - y(x_n, t_m)}{h} = \\ &= \frac{1}{\tau} \cdot \left[y(x_n, t_m) + \tau y'_t(x_n, t_m) + O(\tau^2) - y(x_n, t_m) \right] - \frac{\lambda}{h} \cdot \left[y(x_n, t_m) + h y'_x(x_n, t_m) + O(h^2) - y(x_n, t_m) \right] = \\ &= O(\tau + h) \quad (5) \end{aligned}$$

4.2 Верхний треугольник

$$\begin{aligned} & \frac{y(x_n, t_{m+1}) - y(x_n, t_m)}{\tau} - \lambda \cdot \frac{y(x_{n+1}, t_{m+1}) - y(x_{n-1}, t_{m+1})}{2h} = \\ &= \frac{1}{\tau} \cdot \left[y(x_n, t_m) + \tau y'_t(x_n, t_m) + O(\tau^2) - y(x_n, t_m) \right] - \\ &- \frac{\lambda}{2h} \cdot \left[y(x_n, t_{m+1}) + h y'_x(x_n, t_m) + \frac{h^2}{2} y''_{xx}(x_n, t_m) - y(x_n, t_{m+1}) + h y'_x(x_n, t_m) - \frac{h^2}{2} y''_{xx}(x_n, t_m) + O(h^3) \right] = \\ &= O(\tau + h^2) \end{aligned}$$

4.3 Вводим определение аппроксимации

Итак, пусть требуется решить задачу

$$\mathcal{L}u(\bar{x}) = f(\bar{x}), \quad \bar{x} \in G, \quad (6)$$

где \mathcal{L} – линейный дифференциальный оператор, G – область m -мерного пространства, $f(\bar{x})$ – заданная функция. Для её решения сначала вводится сетка G_η , состоящая из конечного множества точек, принадлежащих G , плотность распределения которых характеризуется вектором η (в нашем случае $\eta = (h, \tau)$), а $G_\eta = G_{(h, \tau)} = \{(x_n, t_m), \quad n = 0, 1, \dots, N, \quad m = 0, 1, \dots, M\}$. Затем строится разностная схема с разностным оператором \mathcal{L}_η

$$\mathcal{L}_\eta v(\bar{x}) = \varphi_\eta(\bar{x}), \quad \bar{x} \in G_\eta \quad (7)$$

решение $(v(\bar{x}), \bar{x} \in G_\eta)$ которой претендует на то, чтобы быть приближением решения $(u(\bar{x}), \bar{x} \in G)$ задачи (6). Теперь обозначим проекцию решения $u(\bar{x})$ задачи (6) на сетку G_η как $[u]_\eta(\bar{x})$, положив

$$[u]_\eta(\bar{x}) = u(\bar{x})|_{\bar{x} \in G_\eta}$$

а также зафиксируем норму $\|\cdot\|_\eta$, в рамках нашей задачи положив $\|\cdot\|_\eta = \|\cdot\|_{(h, \tau)}$, введя следующее

Определение 4.1. Пусть w – функция, определенная на $G_{(h, \tau)}$, тогда

$$\|w\|_{(h, \tau)} = \tau h \sum_{n=0}^N \sum_{m=0}^M |w(x_n, \tau_m)|$$

Определение 4.2. Говорят, что разностная задача (7) аппроксимирует (6), если

$$\|\varphi_\eta(\bar{x}) - \mathcal{L}_\eta[u]_\eta(\bar{x})\|_\eta \rightarrow 0, \quad |\eta| \rightarrow 0$$

4.4 Доказательство аппроксимации

практически завершено. В самом деле, в рамках нашей задачи для доказательства аппроксимации осталось посчитать норму из определения 4.1. Для правого и левого треугольников она будет равна

$$\tau h \sum_{n=0}^N \sum_{m=0}^M O(\tau + h) = O(\tau + h)$$

а для верхнего

$$\tau h \sum_{n=0}^N \sum_{m=0}^M O(\tau + h^2) = O(\tau + h^2)$$

5 Устойчивость

В линейных задачах для устойчивости необходимо и достаточно, чтобы всякое решение разностной схемы было равномерно ограничено по m . Рассмотрим частное решение в виде гармоник $y_{n,m} = \mu^m e^{in\alpha}$ и подставим его в схему

5.1 Правый треугольник

$$\frac{\mu^{m+1} e^{in\alpha} - \mu^m e^{in\alpha}}{\tau} = \lambda \frac{\mu^m e^{i(n+1)\alpha} - \mu^m e^{in\alpha}}{h}$$

Отсюда сокращая на $\mu^m e^{in\alpha}$ получаем, что

$$\frac{\mu - 1}{\tau} = \lambda \frac{e^{i\alpha} - 1}{h} \iff \mu = \lambda \frac{\tau}{h} (e^{i\alpha} - 1) + 1$$

Посчитаем $|\mu|^2$:

$$|\mu|^2 = \mu \cdot \bar{\mu} = \left(\lambda \frac{\tau}{h} (e^{i\alpha} - 1) + 1 \right) \cdot \left(\lambda \frac{\tau}{h} (e^{-i\alpha} - 1) + 1 \right) = 1 + 4 \cdot \lambda \frac{\tau}{h} \cdot \left[\lambda \frac{\tau}{h} - 1 \right] \cdot \sin^2 \left(\frac{\alpha}{2} \right)$$

Таким образом при $\lambda < 0$ получаем, что для $\forall \tau, h$ число $|\mu| > 1 \Rightarrow |y_{n,m}| = \mu^m \rightarrow \infty \forall \tau, h$, то есть схема будет *безусловно неустойчивой*.

Теперь рассмотрим случай $\lambda > 0$. Легко видеть что решение $y_{n,m}$ равномерно ограничено по m для всех α , если и только если $\mu \leq 1$. Таким образом, схема является устойчивой при $0 < \lambda \frac{\tau}{h} \leq 1$ (так как в этом случае $\mu \leq 1$). При $\lambda \frac{\tau}{h} > 1$ легко видеть, что $\mu > 1$, то есть устойчивости не будет. Таким образом, при $\lambda > 0$ схема является *условно устойчивой*.

5.2 Верхний треугольник

Действуем аналогично: подставляем $y_{n,m} = \mu^m e^{in\alpha}$ в соответствующую разностную схему и после сокращения на $\mu^m e^{in\alpha}$ получаем

$$\frac{\mu - 1}{\tau} = \lambda \mu \frac{e^{i\alpha} - e^{-i\alpha}}{2h}$$

Выражаем отсюда

$$\mu = \frac{1}{1 - i \lambda \frac{\tau}{2h} \sin(\alpha)} \Rightarrow |\mu|^2 = \frac{1}{1 + \lambda^2 \frac{\tau^2}{4h^2} \sin^2(\alpha)} \leq 1$$

Таким образом, $|\mu| \leq 1 \forall \tau, h \Rightarrow \forall \tau, h$ $y_{n,m}$ равномерно ограничено по $m \Rightarrow$ схема *безусловно устойчива*.

6 Набор начальных функций

6.1 Первый набор

$$A = \begin{pmatrix} 1 & 0 \\ 0 & 1 \end{pmatrix}, \quad \begin{pmatrix} \phi_1 \\ \phi_2 \end{pmatrix} = \begin{pmatrix} \sin(2\pi x) \\ \cos(2\pi x) \end{pmatrix}$$

Мотивировка выбора данного набора следующая: в качестве первого набора стоит взять что-нибудь простое, чтобы посмотреть как работают разностные схемы в тривиальных случаях. Легко проверить, что точное решение будет иметь вид:

$$\begin{pmatrix} u_1 \\ u_2 \end{pmatrix} = \begin{pmatrix} \sin(2\pi(x+t)) \\ \cos(2\pi(x+t)) \end{pmatrix}$$

6.2 Второй набор

Теперь в качестве ϕ_1 возьмем какую-нибудь гладкую функцию и зашумим её мелкими колебаниями, а в качестве ϕ_2 – уголок $|x - 1/2|$:

$$A = \begin{pmatrix} 1 & 0 \\ 0 & 1 \end{pmatrix}, \quad \begin{pmatrix} \phi_1 \\ \phi_2 \end{pmatrix} = \begin{pmatrix} \cos(2\pi x) + 0.1 \sin(50\pi x) \\ |x - 1/2| \end{pmatrix}$$

Если мы будем использовать явную разностную схему с $\lambda \frac{\tau}{h} = 1$, то график решения будет просто периодически "переноситься" при увеличении t . При $\lambda \frac{\tau}{h} < 1$ для явной схемы мелкое колебание $0.1 \sin(50\pi x)$ будет сглаживаться и в конце концов исчезнет, а уголок $|x - 1/2|$ в конце концов сгладиться. Явление можно объяснить следующим образом: если расписать аппроксимацию схемы правый треугольник (5) подробнее, то можно увидеть, что полученное $O(\tau + h)$ на самом деле равняется

$$O(\tau + h) = \frac{\lambda h}{2} \left(1 - \lambda \frac{\tau}{h}\right) y''_{xx} + \left(1 - \lambda \frac{\tau}{h}\right) \cdot (\dots)$$

то есть при $\lambda \frac{\tau}{h} = 1$ решение будет находиться точно (отсюда и возникает явление "переноса"), а при $\lambda \frac{\tau}{h} < 1$ мы будем явление сглаживания из-за наличия дополнительных членов в разложении для аппроксимации.

Если говорить о неявной схеме, то при $\lambda \frac{\tau}{h} \leq 1$ (достаточное условие устойчивости циклической прогонки) мы будем наблюдать ситуацию, аналогичную случаю $\lambda \frac{\tau}{h} < 1$ для явной схемы.

6.3 Третий набор

Теперь возьмем разрывные функции:

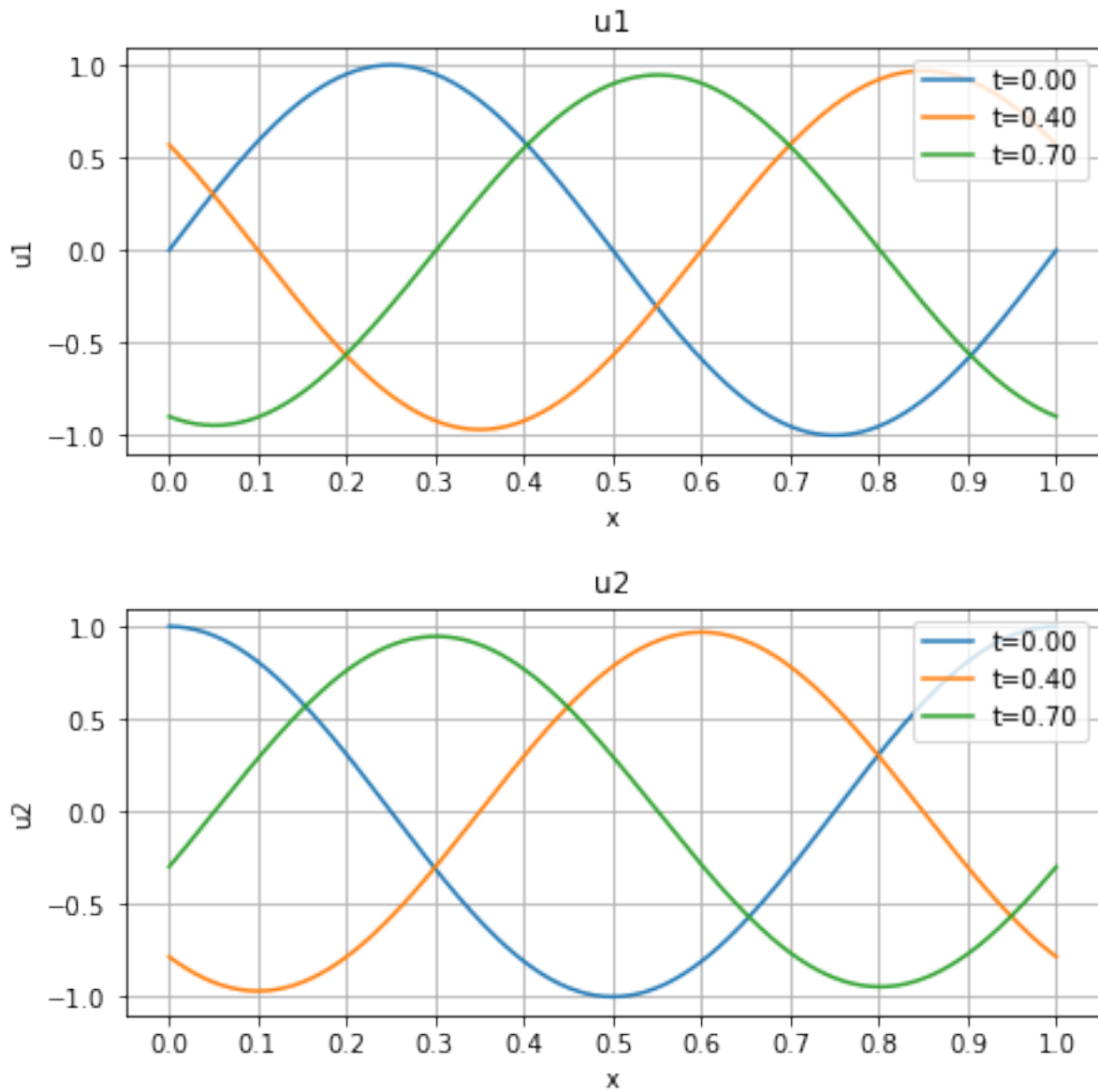
$$A = \begin{pmatrix} 1 & 0 \\ 0 & 1 \end{pmatrix}, \quad \begin{pmatrix} \phi_1 \\ \phi_2 \end{pmatrix} = \begin{pmatrix} \mathbf{1}_{\{x > 1/2\}}(x) \\ \mathbf{1}_{\{1/4 < x < 3/4\}}(x) \end{pmatrix}, \quad \text{где } \mathbf{1}_A(x) := \begin{cases} 1, & x \in A \\ 0, & x \notin A \end{cases}$$

Ситуация аналогичная: при подстановке в явную схему при $\lambda \frac{\tau}{h} = 1$ график решения будет периодически "переноситься" с увеличением t . При $\lambda \frac{\tau}{h} < 1$ явная схема будет сглаживать разрывы. С неявной схемой будет происходить следующее: при $\lambda \frac{\tau}{h} = 1$ у решения будет возникать участки частых колебаний, разрывы будут сглаживаться аналогично неявной схеме, при $\lambda \frac{\tau}{h} < 1$ помимо осциллирующих участков будут также возникать колебания в окрестности сглаженного разрыва.

7 Результаты счёта

7.1 Первый набор

7.1.1 Явная схема $\lambda_h^T < 1$

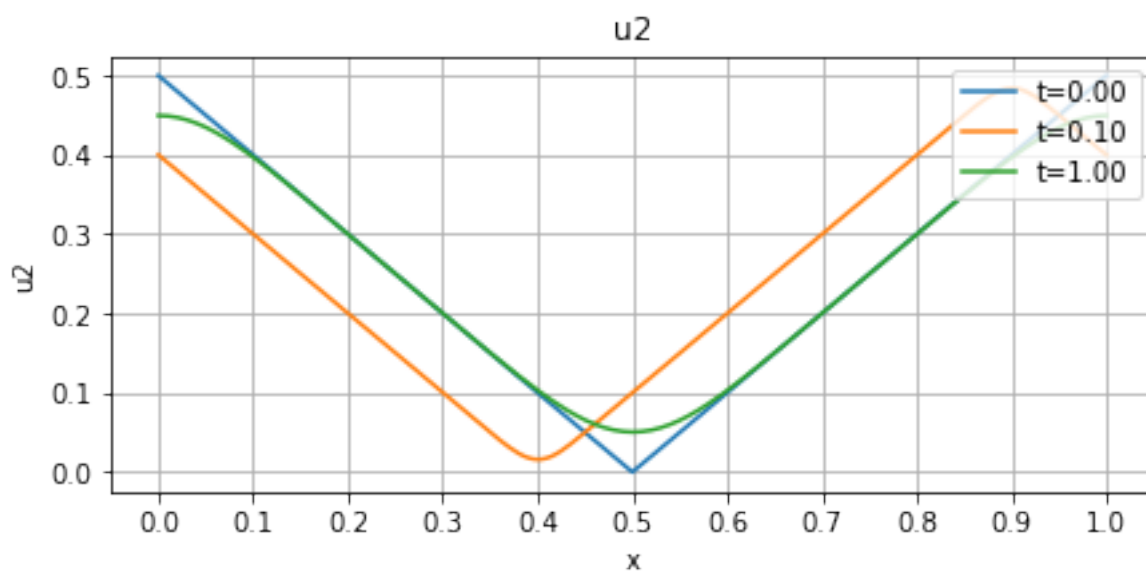
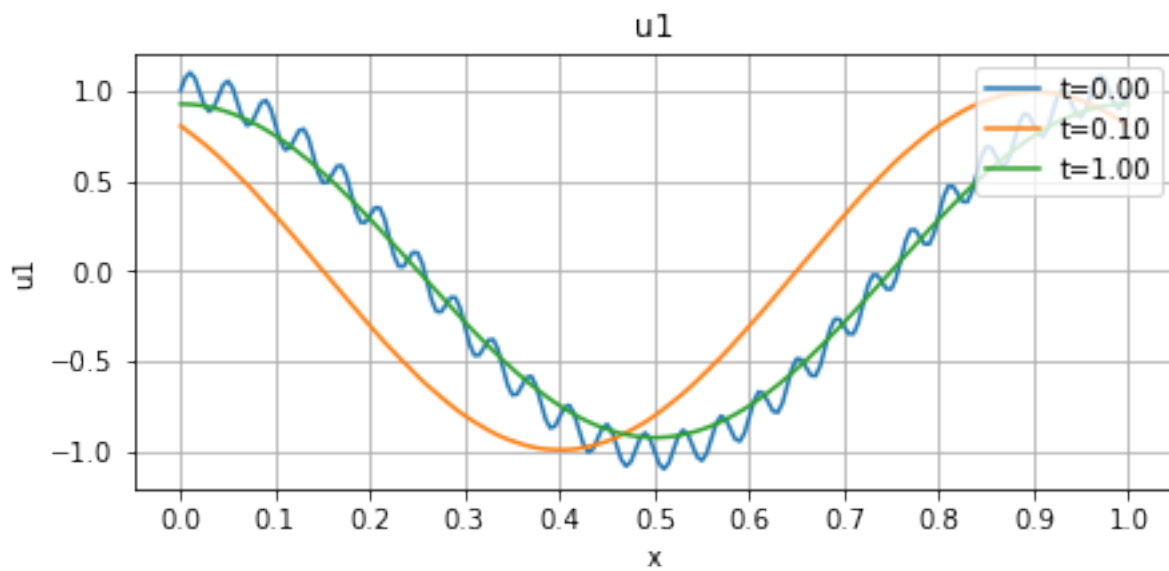


7.1.2 Остальные случаи

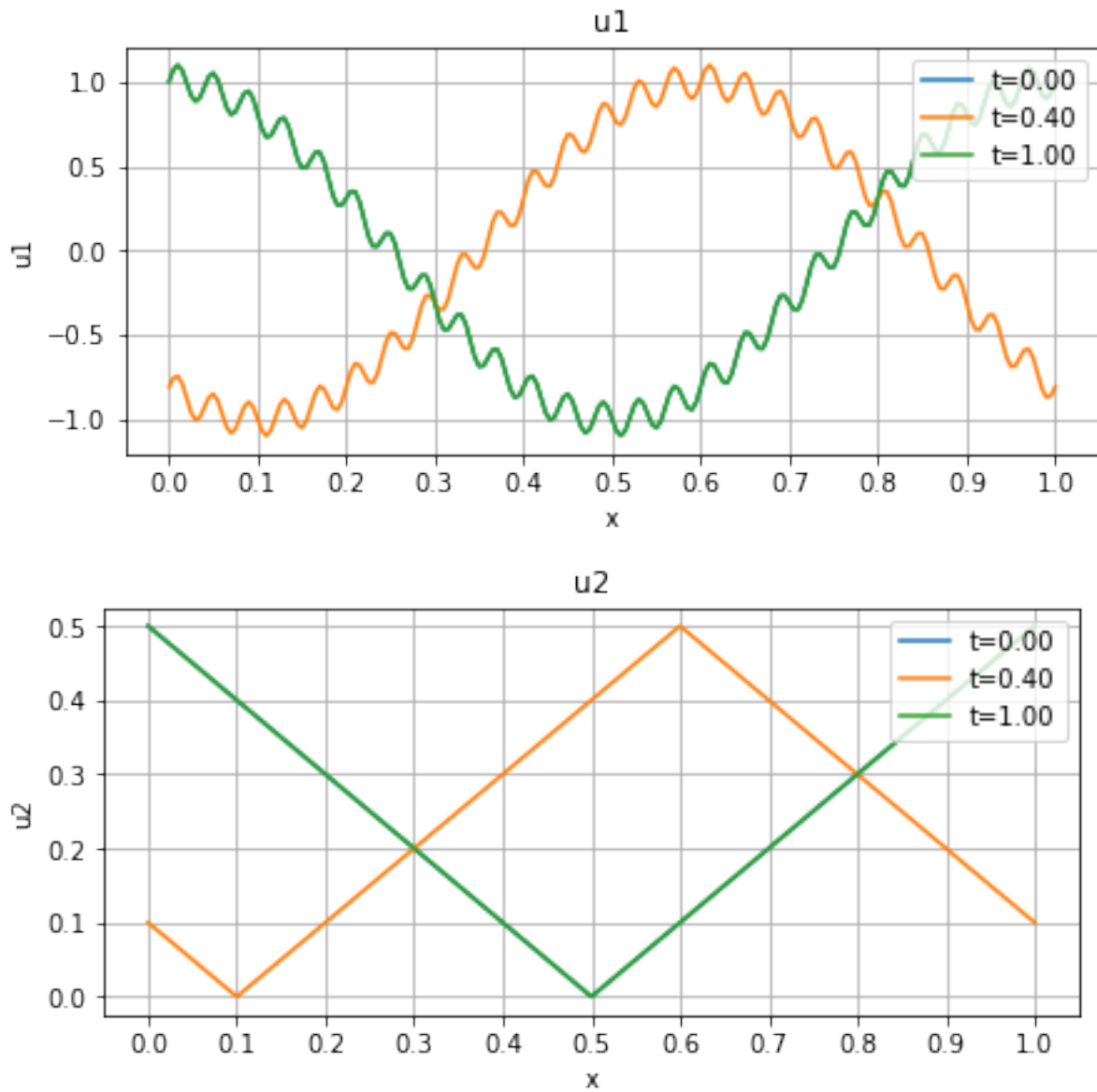
При $\lambda_h^T \leq 1$ в неявной и явных схем результаты аналогичны предыдущему

7.2 Второй набор

7.2.1 Явная схема $\lambda_h^T < 1$



7.2.2 Явная схема $\lambda_h^\tau = 1$

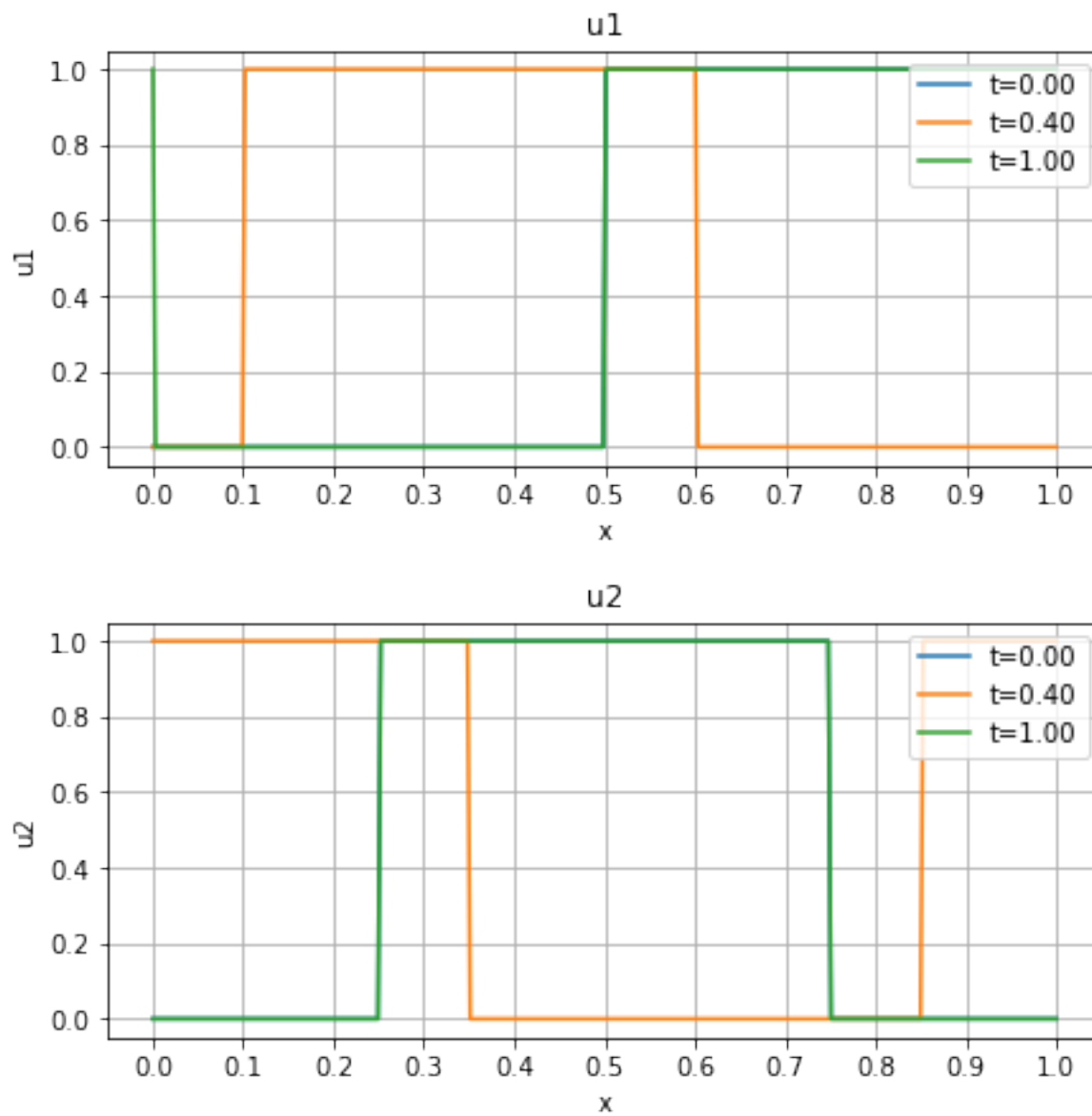


7.2.3 Неявная схема $\lambda_h^\tau \leq 1$

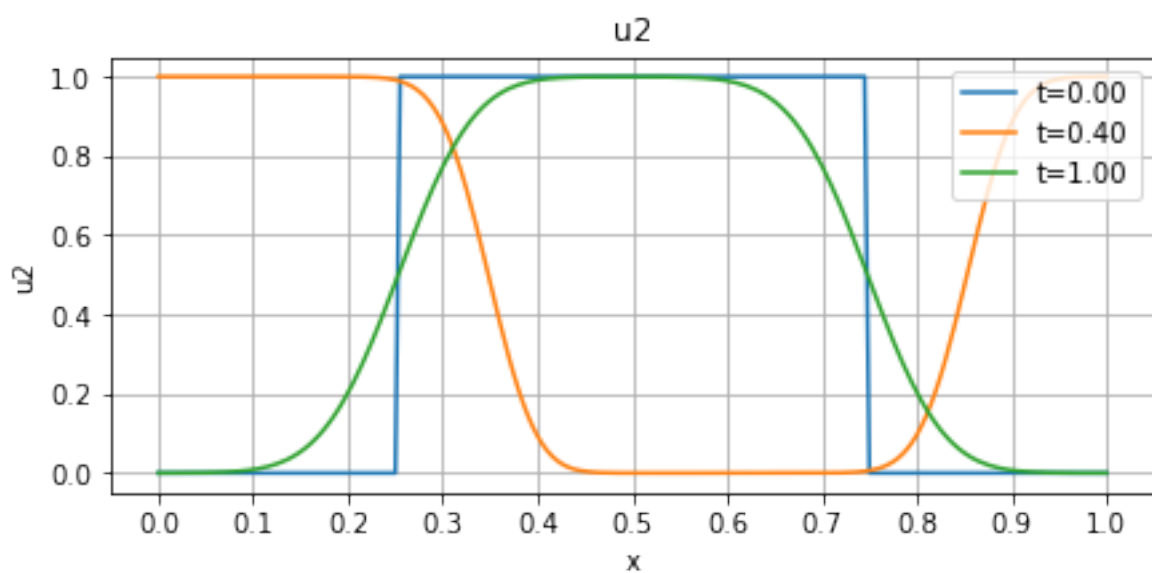
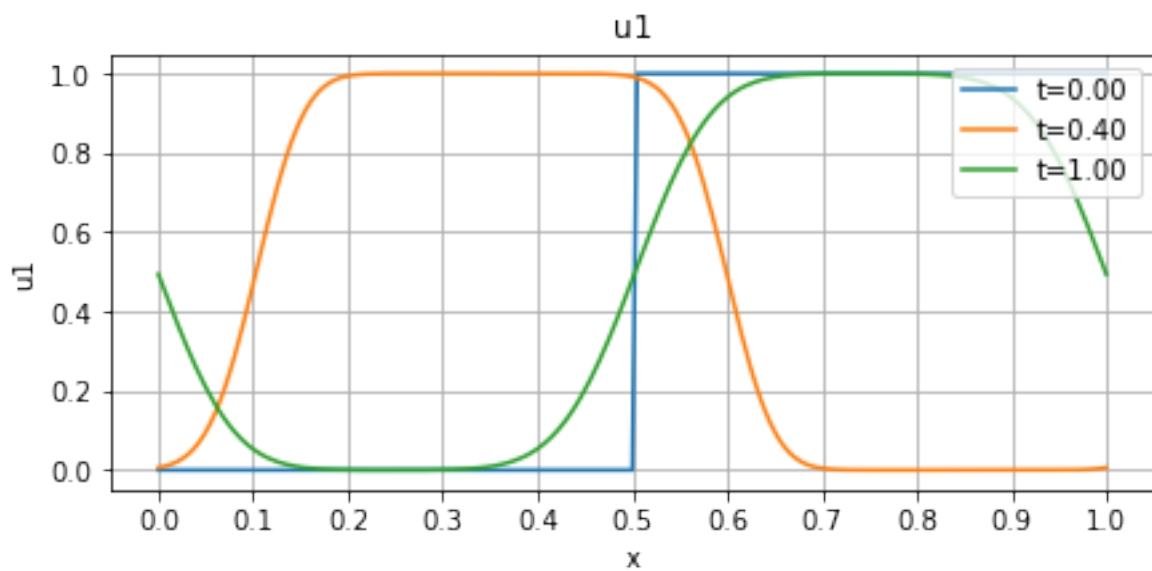
Результаты аналогичны случаю явной схемы $\lambda_h^\tau < 1$

7.3 Третий набор

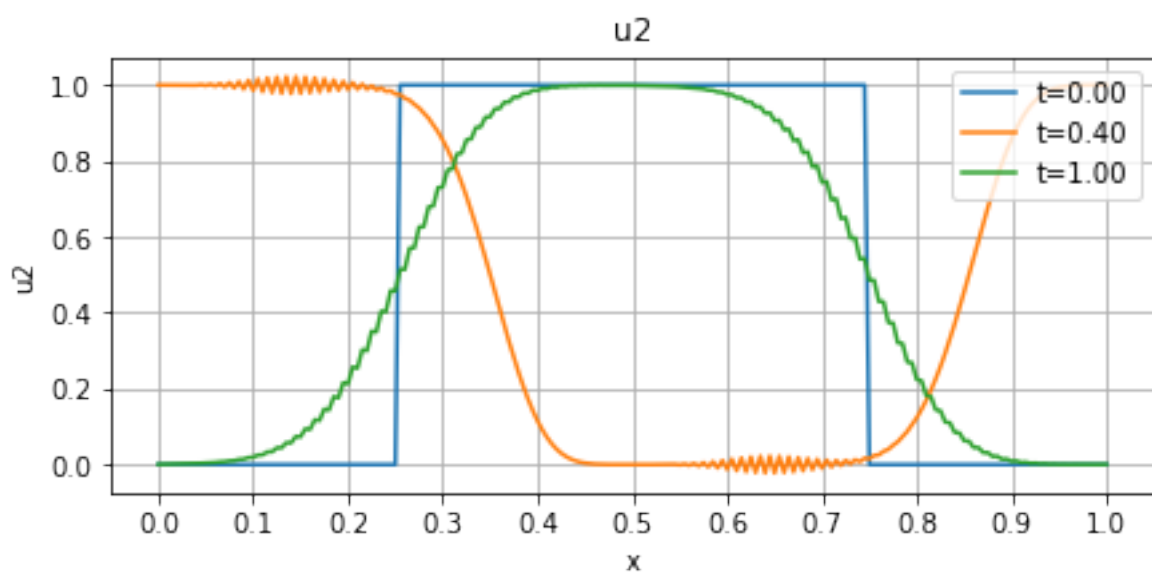
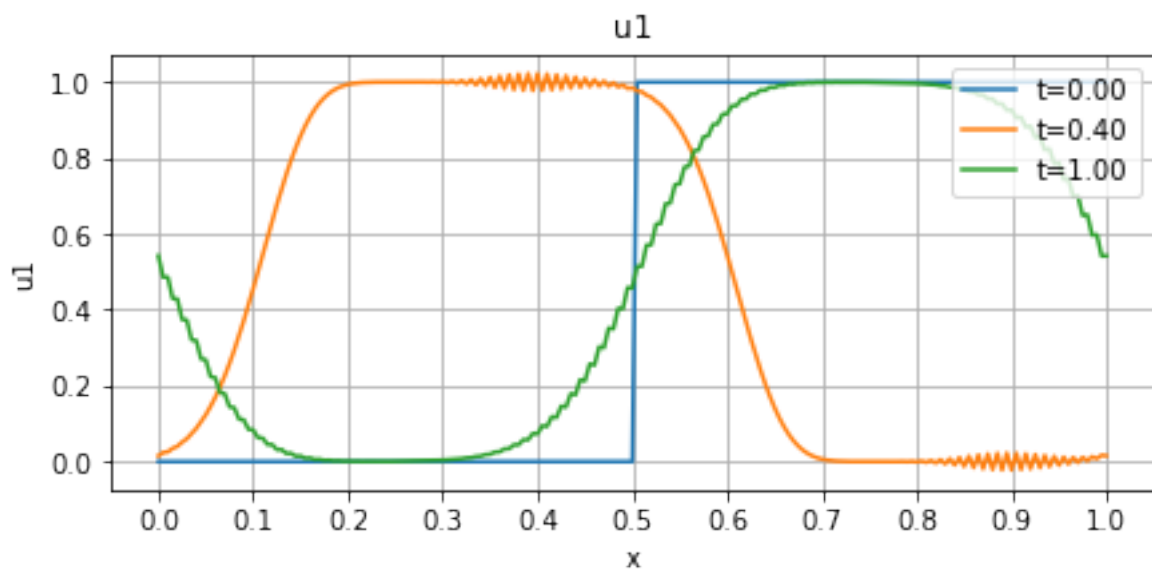
7.3.1 Явная схема $\lambda_h^T = 1$



7.3.2 Явная схема $\lambda_h^T < 1$



7.3.3 Неявная схема $\lambda \frac{\tau}{h} = 1$



7.3.4 Неявная схема $\lambda \frac{\tau}{h} < 1$

